

На рис. 4 показано, что в сканирующих оптико-электронных приборах, предназначенных для обнаружения и регистрации точечных источников, выбор верхней частоты полосы пропускания ниже $f_b = 0,375/\tau$ явно нецелесообразен, так как уже при $\alpha\tau = 2,36$ для $2 \leq \beta\tau \leq 16$, $0 \leq D/a \leq 1$ и $d/a_1 \geq 0,5$ значения относительного «качества» ξ' и относительного провала g более чем на 17 и 22% соответственно ниже $\xi'(\alpha\tau_{opt})$, $g(\alpha\tau_{opt})$. С другой стороны, увеличение f_b выше $f_b = 1,0/\tau$, как видно из рис. 4, ведет к незначительному росту приведенного «качества» ξ' и относительного провала g . При $d/a_1 \geq 0,5$, $2 \leq \beta\tau \leq 16$, $0 \leq D/a \leq 1$ изменение f_b от $f_b = 1,0/\tau$ до $f_b = 2,45/\tau$ практически не оказывается на увеличении ξ' и g , а значения функций $\eta_s(\alpha\tau)$, $\eta_g(\alpha\tau)$ при изменении $\alpha\tau$ от 6,28 до 13,5 меньше 0,1.

Узел t_1/τ , соответствующий первому максимальному значению U_1 сигнала $U_{\text{вых}}(t/\tau)$, можно рассматривать как временной сдвиг изображения на ФРУ.

Кривые на рис. 2 свидетельствуют, что в случае оптимальных режимов работы сканирующей ОЭС значения t_1/τ убывают с увеличением d/a_1 , $\beta\tau$ и существует такое $d/a_1 \approx 0,5$, что увеличение d/a_1 выше 0,5 практически не приводит к изменению t_1/τ .

Для фиксированных $\alpha\tau \geq 3,77$, $\beta\tau \geq 4$ прирост значений t_1/τ не превышает 0,05, если $0 \leq D/a \leq 1$ и d/a_1 изменяется от 0,5 до 1, и менее 0,07, если $0,4 \leq D/a \leq 1$, а d/a_1 меняется от 0 до 1.

Из рис. 3 видно, что для фиксированных $\alpha\tau \geq 3,77$, $\beta\tau \geq 4$, $0,5 \leq d/a_1 \leq 1$ значения t_1/τ с точностью 0,02 остаются постоянными при изменении D/a от 0 до 0,6, при этом приращения t_1/τ , когда D/a меняется от 0 до 1, не превосходят 0,08.

Если t_1/τ , t_3/τ — узлы, соответствующие максимальным значениям выходного сигнала ФРУ, то величина $\Delta t = |t_3 - t_1|$ есть временной интервал между экстремумами U_1 , U_3 результирующего отклика $U_{\text{вых}}(t/\tau)$, который, как показывают расчеты, не равен временному интервалу 2τ между импульсами на входе инерционного ФП для идеальной ОС приемной головки сканирующей ОЭС. Для рассматриваемой аппроксимации характеристик ОЭС величина $v = (2\tau - \Delta t)/2\tau$ составляет $0 \div 0,125$ при $\alpha\tau \geq 3,77$, $2 \leq \beta\tau \leq 16$, $0 \leq d/a_1 \leq 1$, $0 \leq D/a \leq 1$. Значения v убывают с ростом $\alpha\tau$ и $\beta\tau$ при изменении d/a_1 и D/a в вышеуказанных пределах. Для безинерционного ФП (т. е. $\beta\tau \geq 16$) $v \in [0; 0,08]$ при $\alpha\tau \geq 3,77$, $0 \leq d/a_1 \leq 1$, $0 \leq D/a \leq 1$.

Полученные в работе результаты могут служить основанием для выбора основных параметров сканирующих оптико-электронных приборов, предназначенных для регистрации точечных объектов, на этапах их проектирования и настройки.

ЛИТЕРАТУРА

1. Ухов Б. В., Клочкова В. Г., Красников Д. Н., Бенза С. М. О влиянии инерционности приемника излучения на основные параметры тепловизора.— ОМП, 1977, № 11.
2. Куртев Н. Д., Хахин В. И. Исследование качества тракта тепловизионной системы.— В кн.: Тепловидение/Под ред. Н. Д. Куртева. М.: МИРЭЛ, 1978, вып. 2.
3. Ухов Б. В., Клочкова В. Г., Красников Д. Н., Бенза С. М. О влиянии aberrаций оптической системы на основные параметры тепловизора.— ОМП, 1978, № 11.
4. Ухов Б. В., Бенза С. М., Красников Д. Н. Влияние размеров записывающего пятна на фоторегистрирующее устройство на основные параметры тепловизора.— ОМП, 1981, № 3.

Поступило в редакцию 16 сентября 1980 г.; окончательный вариант — 10 декабря 1982 г.

УДК 621.373.826.396.96

Ю. Н. БУГАЕВ
(Москва)

ОЦЕНКА ТОЧНОСТИ ОПРЕДЕЛЕНИЯ ВРЕМЕННОГО ПОЛОЖЕНИЯ ИМПУЛЬСНОГО СИГНАЛА ФОТОПРИЕМНИКОМ С ФЭУ

Измерение временного положения импульса приемником прямого фотодетектирования с ФЭУ имеет ряд особенностей, вызванных дискретным характером статистических распределений сигнала. Рассмотрим приемник, состоящий из ФЭУ, порогового элемента (ПЭ), схемы временной привязки (СВП) и видеовысоковольтного усилителя (ВУ), имеющего линейную амплитудную характеристику и импульсную характеристику, близкую к прямоугольной. Сигнал на выходе ФЭУ может быть представлен в виде потока одноэлектронных импульсов со случайной амплитудой и длительностью, которая много меньше длительности сигнального импульса. Выходное напряжение ВУ можно представить как отклик фильтра с импульсной характеристикой $h(t)$ на последовательность δ-функций, моменты появления которых случайны и обусловлены

моментами появления фотоэлектронов, а амплитуда имеет распределение в соответствии с одноэлектронной характеристикой ФЭУ.

Рассмотрим два метода временной фиксации положения импульса: метод пересечения фиксированного порога и метод привязки со следящим порогом [1].

Пусть на интервале $(0, \tau)$ пришло ровно N фотоэлектронов. Предположим, что длительность импульсной характеристики ВУ равна длительности сигнального импульса $\tau_{\text{ВУ}} = \tau$, тогда момент пересечения фиксированного порога r является моментом прихода r -го фотоэлектрона при детерминированной одноэлектронной характеристике ФЭУ. Математическое ожидание, второй момент и дисперсия времени пересечения порога r соответственно равны [2]:

$$\bar{t}(r) = r\tau/(N+1), M_2(r) = r(r+1)\tau^2/(N+1)(N+2), \sigma^2(r) \approx r\tau^2/(N+1)^2, \quad (1)$$

где $r = U_{\text{пор}}/U_0 K$ — значение эффективного порога, U_0 — амплитуда одноэлектронного импульса, K — коэффициент усиления ВУ, $U_{\text{пор}}$ — напряжение порога.

Амплитуда одноэлектронного импульса реальных ФЭУ является случайной величиной и обычно аппроксимируется экспоненциальным законом распределения [3]. При этом случайными будут и амплитуда импульса на выходе ВУ ($U_{\text{ВУ}}$), и число фотоэлектронов, пришедших до момента пересечения порога.

Вероятность того, что амплитуда 1-го фотоэлектрона превысит порог r , равна $P(u_1 > r)$, и время пересечения определяется временем прихода 1-го фотоэлектрона. Вероятность того, что порог будет превышен точно в момент прихода 2-го фотоэлектрона, равна разности вероятностей $P(u_1 + u_2 > r)$ и $P(u_1 > r)$, а момент пересечения порога определяется моментом прихода 2-го фотоэлектрона в соответствии с (1). Аналогично вероятность того, что порог будет превышен в момент прихода точно m -го фотоэлектрона, равна разности вероятностей превышения порога при приходе m фотоэлектронов и после прихода $(m-1)$ -го фотоэлектрона. Если на интервале пришло ровно N фотоэлектронов, то среднее время пересечения порога при условии, что он обязательно будет превышен, с учетом (1) можно записать так:

$$\bar{t}_c(r) = \sum_{m=1}^N \frac{m\tau}{(N+1)} \left[P\left(\sum_{i=1}^m u_i > r\right) - P\left(\sum_{i=1}^{m-1} u_i > r\right) \right]. \quad (2)$$

Здесь $u_i = U_i/K\bar{U}_0$ — нормированное значение отклика ВУ при действии i -го одноэлектронного импульса, \bar{U}_0 — среднее значение амплитуды одноэлектронного импульса.

Если известна плотность распределения амплитуды каждого импульса, то плотность распределения суммы импульсов является m -кратной сверткой плотностей распределения слагаемых. При экспоненциальном распределении одноэлектронного импульса суммарная амплитуда имеет распределение Эрланга m -го порядка [4]. Обозначим через $u = U_{\text{ВУ}}/K\bar{U}_0$ нормированное напряжение на выходе ВУ, и тогда плотность этого напряжения можно записать [4] в виде

$$p\left(\sum_{i=1}^m u_i\right) = p(u) = \exp\{-u\} u^{m-1}/(m-1)! \quad (3)$$

Вероятность того, что суммарная амплитуда при приходе m фотоэлектронов превысит порог r , равна

$$P\left(\sum_{i=1}^m u_i > r\right) = \int_r^\infty p(u) du = \frac{1}{(m-1)!} \int_r^\infty u^{m-1} e^{-u} du. \quad (4)$$

Среднее время пересечения порога с учетом (2)

$$\begin{aligned} \bar{t}_c(r) &= \sum_{m=1}^N \frac{m\tau}{N+1} \left[\int_r^\infty \frac{u^{m-1}}{(m-1)!} e^{-u} du - \int_r^\infty \frac{u^{m-2}}{(m-2)!} e^{-u} du \right] = \\ &= \frac{\tau e^{-r}}{N+1} \sum_{m=0}^{N-1} \frac{r^m (m+1)}{m!}. \end{aligned} \quad (5)$$

При $N \gg r$ выражение (5) можно записать так: $\bar{t}_c(r) = (r+1)\tau/(N+1)$.

Аналогично найдем выражения (при $N \gg r$) для второго момента и дисперсии времени пересечения порога:

$$\begin{aligned} M_2^c(r) &= \frac{\tau^2 e^{-r}}{(N+1)(N+2)} \sum_{m=0}^{N-1} \frac{(m+1)(m+2)r^m}{m!} \approx \frac{(r+4r+2)\tau^2}{(N+1)^2} \quad \text{и} \\ \sigma^2(r) &= (2r+1)\tau^2/(N+1). \end{aligned} \quad (6)$$

Рассмотрим метод привязки со следящим порогом. Сигнал с выхода ВУ поступает на усилитель-ограничитель снизу с уровнем ограничения r , а затем на два плеча схемы. В первом плече он передается без изменения, а во втором — задерживается на время $\tau_{\text{дз}} = \tau$ и усиливается в два раза. Затем сигнал поступает на схему сравнения, которая вырабатывает сигнал в момент равенства напряжений в обоих плечах СВП. Обозначим через u_{1c} и u_{2c} нормированные напряжения в первом и во втором плечах схемы в момент равенства напряжений. При выбранных параметрах схемы напряжения будут равны при появлении $(N - x + 1)$ -го фотоэлектрона, сдвигнутого на время τ в первом плече, и при появлении x -го фотоэлектрона, задержанного во втором плече на то же время $\tau = \tau_{\text{дз}}$, при этом выполняется равенство

$$u_{1c}(N - x + 1) - r = 2[u_{2c}(x) - r],$$

или

$$u_{1c}(N - x + 1) = 2u_{2c}(x) - r. \quad (7)$$

Величины u_{1c} и u_{2c} являются случайными и равными соответственно

$$u_{1c} = \sum_{i=1}^{N-x+1} u_i, \quad u_{2c} = \sum_{i=1}^x u_i.$$

Условная вероятность того, что в момент равенства напряжений напряжение в первом плече достигнет величины u_{1c} точно в момент прихода $(N - x + 1)$ -го фотоэлектрона, равна

$$P_c(N - x + 1/u_{1c}) = \int_{u_{1c}}^{\infty} \frac{u^{N-x}}{(N-x)!} e^{-u} du = \int_{u_{1c}}^{\infty} \frac{u^{N-x-1}}{(N-x-1)!} e^{-u} du = \frac{u_{1c}^{N-x}}{(N-x)!} e^{-u_{1c}}.$$

В силу выполнения в этот момент условия (7)

$$P_c(N - x + 1/u_{1c}) = P_c(x/u_{2c}) = [(2u_{2c} - r)^{N-x} e^{-2u_{2c} + r}] / (N-x)!$$

При этом величина u_{2c} имеет плотность распределения (с учетом (3))

$$p(u_{2c}) = p\left(\sum_{i=1}^x u_i\right) = \frac{u_{2c}^{x-1}}{(x-1)!} e^{-u_{2c}}. \quad (8)$$

Вероятность того, что напряжения в плечах схемы равны при появлении x -го фотоэлектрона во втором плече, можно найти как

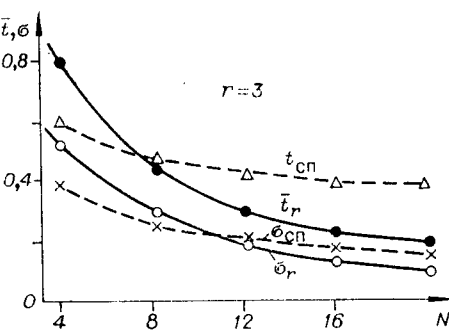
$$\begin{aligned} P_c(x) &= \int_{2r}^{\infty} P_c(x/u_{2c}) p_c(u_{2c}) du_{2c} = \\ &= \frac{2^{-x} e^{-5r}}{(N-x)! (x-1)!} \left(\frac{2}{3}\right)^{N-x} \sum_{k=0}^{N-x} C_{N-x}^k (N-k-1)! \left(-\frac{3}{2}\right)^r \sum_{m=0}^{N-k-1} \frac{(6r)^m}{m!}. \end{aligned} \quad (9)$$

Пусть параметры схемы выбраны так, что вероятность того, что напряжения в плечах схемы не пересекутся, пренебрежимо мала. Тогда равенство (7) может выполняться в момент прихода 1-, 2-, ..., x -, ..., N -го фотоэлектронов, при этом среднее время и второй момент времени фиксации определяются соотношениями

$$\bar{t}_{\text{сп}}(N) = \sum_{x=1}^N \bar{t}_c(x) P_c(x) = \left(\frac{2}{3}\right)^N e^r \frac{\tau}{(N+1)} \sum_{x=1}^N \frac{x 2^{-x}}{(N-x)!(x-1)!} A(N, x), \quad (10)$$

$$M_{\text{сп}}^2(N) \approx \left(\frac{2}{3}\right)^N \frac{\tau^2 e^r}{(N+1)^2} \sum_{x=1}^N \frac{x(x+1) 2^{-x}}{(N-x)!(x-1)!} A(N, x),$$

где $A(N, x) = \sum_{k=0}^{N-x} C_{N-x}^k \left(-\frac{3r}{2}\right)^k \Gamma(N-k, 6r)$, а $\Gamma(x, y)$ неполная гамма-функция.



ции. При $N \gg r$ выражения для среднего времени и дисперсии момента фиксации упрощаются:

$$\bar{t}_{\text{сп}} \approx ((N + r + 2)/3(N + 1)) \tau, \sigma_{\text{сп}}^2 \approx ((4(N + r) + 7)/9(N + 1)^2) \tau^2.$$

Зависимости среднего времени и СКО времени фиксации от числа пришедших на интервале $(0, \tau)$ фотоэлектронов для двух методов измерения временного положения импульса приведены на рисунке.

Предложенная методика позволяет проводить оценку точности определения временного положения импульса фотоприемником с ФЭУ при различных методах фиксации временного положения импульса с учетом реальных флуктуаций одиночной характеристики ФЭУ и статистического характера сигнала.

ЛИТЕРАТУРА

1. Мелешко Е. А. Интегральные схемы в наносекундной ядерной электронике.— М.: Атомиздат, 1977.
2. Богомолов А. А., Бугаев Ю. Н., Суетенко А. В. Оценка точности определения временного положения светового импульса фотоприемником.— В кн.: Импульсная фотометрия. Л.: Машиностроение, 1979, вып. 6.
3. Перцев А. И., Писаревский А. И. Одиночные характеристики ФЭУ и их применение.— М.: Атомиздат, 1971.
4. Кокс Д. Р., Смит В. Л. Теория восстановления: Пер. с англ./Под ред. Ю. К. Беляева.— М.: Сов. радио, 1967.

Поступило в редакцию 29 мая 1980 г.

УДК 681.325 : 625.376

В. Н. СИДЕЛЬНИКОВ, Р. Р. ХАМИТОВ
(Москва)

О ГРАНИЦАХ ВЕРОЯТНОСТИ ОШИБКИ В ЗАДАЧАХ РАСПОЗНАВАНИЯ ОБРАЗОВ

В задачах распознавания образов с помощью байесовских классификаторов, как правило, весьма сложен аналитический расчет вероятности ошибочной классификации P_e и важное значение приобретает поиск соотношений, задающих ее нижнюю и верхнюю границы. Эти границы должны определять возможности классификатора в зависимости от конфигурации и числа m эталонных образов (классов) $J_r(s)$, априорного распределения вероятностей этих образов P_r ($r = 1, \dots, m$) и условных распределений наблюдений $J(s)$ (s — пространственная или временная переменная).

В литературе, посвященной этому вопросу, приводятся обычно соотношения для $m = 2$, а для $m > 2$ известны лишь верхние границы вероятности ошибочной классификации [1, 2]. Общий интерес к нахождению удобных соотношений для верхних границ обусловлен необходимостью наличия критерия оптимальности для поиска систем эффективных признаков [3, 4]. Однако для разработчиков систем распознавания весьма важной задачей становится получение двусторонних соотношений для P_e при $m > 2$. Так как нахождение границ для двухклассовой задачи обычно проще, чем для многоклассовой, то желательно, чтобы эти соотношения выражались через соотношения для границ при $m = 2$.

Пусть заданы границы для вероятности ошибочной классификации при $m = 2$:

$$g_u(P_1, P_2, \rho_{12}) \leq P_e \leq g_b(P_1, P_2, \rho_{12}), \quad (1)$$

где ρ_{12} — некоторая мера сходства образов $J_1(s)$ и $J_2(s)$, зависящая от условных распределений вероятностей $J(s)$.

Для получения границ вероятности ошибки при $m > 2$ рассмотрим

$$A_{qr} = \{J(s) : P[J_q(s) | J(s)] \geq P[J_r(s) | J(s)]\}$$

— множество наблюдений $J(s)$, для которых в соответствии с оптимальным байесовским алгоритмом принимаем решение в пользу образа $J_q(s)$ против $J_r(s)$, а $P[J_q(s) | J(s)]$ и $P[J_r(s) | J(s)]$ — апостериорные вероятности образов $J_q(s)$ и $J_r(s)$. Пусть далее имеет место $J_r(s)$, тогда в соответствии с [4] для верхней границы получим

$$P_{e,r} = P \left\{ \bigcup_{\substack{q=1 \\ q \neq r}}^m A_{qr} \mid J_r(s) \right\} \leq \sum_{\substack{q=1 \\ q \neq r}}^m P \{ A_{qr} \mid J_r(s) \}$$